



УДК 547.953:542.95

## МЯГКОЕ НЕФЕРМЕНТАТИВНОЕ ГИДРОЛИТИЧЕСКОЕ РАСЩЕПЛЕНИЕ ФОСФОДИЭФИРНОЙ СВЯЗИ В ФОСФАТИДИЛЭТАНОЛАМИНАХ

© 1996 г. А. В. Жуков<sup>#</sup>, Э. И. Кузнецова, А. Г. Верещагин

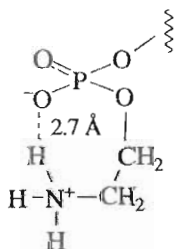
Институт физиологии растений им. К.А. Тимирязева РАН, 127276, Москва, Ботаническая, 35

Поступила в редакцию 15.06.95 г. После доработки 21.11.95 г.

Ацетилирование фосфатидилэтанолamina вызывает изменение конформации его полярной головки; вследствие этого Р–О–С-связь в N-ацетилфосфатидилэтанолamine может быть гидролизована (с образованием ацетамида этанолamina) в более мягких условиях, чем в исходном фосфатидилэтанолamine.

*Ключевые слова:* фосфолипиды, гидролиз, полярная головная группа.

Результаты нашей предыдущей работы [1], а также литературные данные [2–5] свидетельствуют о том, что неферментативное расщепление связи Р–О–С между остатками ортофосфорной кислоты и этанолamina в молекуле *sn*-3-фосфатидилэтанолamina требует применения весьма жестких условий, вызывающих дальнейшее интенсивное разрушение продуктов реакции. По-видимому, высокая устойчивость этой связи обусловлена тем, что фосфозэтаноламмониевая полярная головная группа РЕ представляет собой прочную семичленную кольцевую структуру [6–10] с нейтральным или слабоотрицательным зарядом при рН 4–8 [10–12].



Образование кольцевой ПГГ вызвано внутримолекулярным электростатическим притяжением противоположно заряженных групп, а также присутствием водородной связи [6, 7, 10, 13].

Сокращения: ВРФ – водорастворимая фракция продуктов дез-О-ацелирования N-ацетилированных фосфолипидов; ПГГ – полярная головная группа фосфолипидов; EtnNAcOAc – N,O-диацетил-Etn; DNP – 2,4-динитрофенол; Etn – этанолamin; EtnNAc – N-ацетил-Etn; PMA – фосфоринолибденовая кислота; PE – *sn*-3-фосфатидилэтанолamin; PENAc – N-ацетил-PE;  $R_{DNP}$  и  $R_{PE}$  – подвижность при

ТСХ относительно DNP и PE;  $V_R^{отн}$  – относительный удерживаемый объем при ГЖХ.

<sup>#</sup> Автор для переписки.

Существование прочной внутримолекулярной водородной связи между группами  $NH_3^+$  и  $PO_2^-$  было доказано ранее с помощью ЯМР-спектроскопии [8, 13, 14]. Благодаря внутримолекулярному взаимодействию в кольцевой ПГГ ее атом азота располагается на близком расстоянии (2.7 Å) от кислородных атомов фосфата [10], а из-за отсутствия в этой группе РЕ свободных доноров/акцепторов водородных связей она очень слабо гидратирована [15–17]. Можно считать, что последнее обстоятельство затрудняет сольволиз Р–О–С-связи в РЕ и в продукте его дезацелирования.

Задача настоящей работы состояла в нахождении способа гидролиза этой связи в мягких условиях. Чтобы устранить внутримолекулярное взаимодействие в РЕ, мы перевели его в N-ацетильное производное (PENAc), которое имеет практически нейтральную NH-группу и несет отрицательный заряд, локализованный в ПГГ [15, 17]. Способность ПГГ к гидратации как по остатку фосфата, так и вблизи группы NH при этом резко усиливается [15], что должно привести к значительному снижению устойчивости Р–О–С-связи к гидролизу.

N-Ацетилирование РЕ мы проводили в мягких условиях – действием 10% раствора  $As_2O_3$  в метаноле при комнатной температуре; эту методику предложили Гейвер и Свили [18] для избирательного N-ацетилирования сфингозиновых оснований (таблица, опыт 1). РЕ при этом исчезает, и появляется новое вещество с относительной ТСХ-подвижностью  $R_{PE} = 1.86$  (см. “Экспериментальную часть”); далее это вещество было идентифицировано как PENAc.

Реакции фосфолипидов и их азотистых оснований<sup>1\*</sup>

Параметры реакции	Номер опыта				
	1	2	3	4	5
Субстрат реакции	PE	PENAc	ВРФ	Etn	EtnNAc
Реагент, реакция среды	Ac <sub>2</sub> O <sup>2*</sup>	MeOH, MeONa <sup>3*</sup>	Слабо-кислая <sup>4*</sup>	Ac <sub>2</sub> O <sup>2*</sup>	MeOH, кислая <sup>5*</sup>
Температура (°C) и длительность реакции (ч)	20; 16.0	56; 1.5	100; 1.5	20; 16.0	56; 1.0
Главный продукт реакции	PENAc	ВРФ	EtnNAc	EtnNAc	EtnNAcOAc
Подвижность продукта при ТСХ ( $R_{DNP}$ )	1.86 <sup>6*</sup>	н. о. <sup>7*</sup>	6 <sup>8*</sup>	6.00 <sup>8*</sup>	11 <sup>8*</sup>
То же при ГЖХ ( $V_R^{отн}$ )	н. о.	н. о.	1.32 <sup>10*</sup>	1.31 <sup>10*</sup>	2.31 <sup>10*</sup>
Цветная реакция продукта с нингидрином	–	»	–	–	–
То же с реактивом Васьяковского [19]	+	»	–	–	–
Асимметричность ГЖХ-пика продукта	–	–	1.07	1.07	–
Предел детектирования продукта с пламенно-ионизационным детектором, мкг	–	–	0.03	0.03	–
					0.50

<sup>1\*</sup> Продукты реакций в опытах 1 и 3–5 давали также положительную цветную реакцию с РМА.

<sup>2\*</sup> 10% раствор в MeOH.

<sup>3\*</sup> 1.2% раствор MeONa в MeOH.

<sup>4\*</sup> 0.2 мМ HCl, pH 4.

<sup>5\*</sup> 4.6% раствор HCl в MeOH.

<sup>6\*</sup>  $R_{PE}$ , в системе CHCl<sub>3</sub>–MeOH – 13 н. NH<sub>4</sub>OH (32 : 10 : 1).

<sup>7\*</sup> Не определяли.

<sup>8\*</sup> В системе CHCl<sub>3</sub>–MeOH (3 : 1).

<sup>9\*</sup> В системе CHCl<sub>3</sub>–MeOH – 13 н. NH<sub>4</sub>OH (21 : 26 : 10).

<sup>10\*</sup> Относительно метилсалицилата.

<sup>11\*</sup> Относительно 1-октанола [1].

Гидролиз P–O–C-связи в PENAc, как и в исходном PE [1], проводили в гомогенной водной среде, и потому субстратом этой реакции служила водорастворимая фракция (ВРФ) продуктов дез-О-ацилирования N-ацелированных фосфолипидов (таблица, опыт 2). При подборе катализатора гидролиза ВРФ мы исходили из того, что поведение фосфатной группы PENAc с двумя нейтральными заместителями алифатической природы должно быть аналогично поведению диалкилфосфатов. Однако детальных исследований, посвященных гидролизу соединений этого класса, мы не обнаружили. В то же время имеется ряд соответствующих работ в отношении моноалкил- и моноарилфосфатов [12, 20–23]. Было показано, что скорость их гидролиза определяется главным образом числом отрицательных зарядов на фосфатной группе. Эта скорость достигает максимума для моноионной формы фосфомоноэфиров, ROP(O)(O<sup>-</sup>)OH, которая образуется при повышении pH реакционной среды с <1 до 4–5 [12, 20].

В настоящей работе обработка ВРФ 0.2 мМ HCl (pH 4) привела к образованию с удовлетворительным выходом вещества с  $R_{DNP} = 6$  при ТСХ (см. “Экспериментальную часть”). Это вещество по всем хроматографическим (таблица, опыт 3) и масс-спектрометрическим показателям [24] не отличалось от полученного нами стандарта EtnNAc (таблица, опыт 4). Таким образом, вещество с

$R_{PE} = 1.86$  – это PENAc. Также ясно, что разбавленная HCl с pH 4 способна катализировать гидролиз как фосфомоно-, так и фосфодизэфиров; разрыва амидной связи в PENAc при этом не отмечается.

В наших предварительных опытах (данные не приводятся) мы пытались достичь расщепления P–O–C-связи в PENAc в щелочной или сильнокислой (pH < 1) средах, однако образования EtnNAc при этом не происходило. Фосфомоноэфиры в таких условиях также не гидролизуются, поскольку подход диполя H<sub>2</sub>O к атому фосфора динионной (при pH ≥ 8.5) и неионной (при pH ≤ 1) форм фосфатной группы невозможен или сильно затруднен [20, 21, 23].

Поскольку раствор HCl в метаноле наряду с метанолизом сложных эфиров жирных кислот вызывает также расщепление связи CO–NH (таблица, опыт 5), для избирательного дез-О-ацилирования PENAc мы использовали метанольный раствор MeONa (опыт 2). Оба эти раствора неактивны к P–O–C-связи, а что касается гидролизующих ее водных растворов, то раствор NaOH (0.37 н. [1]) расщепляет эту связь (в весьма жестких условиях) в PE (но не в PENAc), а 0.2 мМ HCl, pH 4 (опыт 3), – в PENAc (но не в PE).

Мы полагаем, что предложенный нами метод дает возможность получать этаноламин из PE в

биохимических исследованиях без разрушения, с количественным выходом, а также осуществлять мягкий ферментативный гидролиз Р-О-С- и амидных связей в других N-производных PE, в частности в природных N-ацил-PE, что важно для получения достоверных данных о составе высших жирных кислот их N-ацильных групп [15, 25]. Кроме того, этот метод может найти применение для расщепления ПГГ других аминокислотных липидов и гидролиза остатков фосфоэтанолamina, содержащихся в ряде природных липидов и липополисахаридов [26, 27]. Наконец, обнаружение того факта, что введение ацильного заместителя в аминогруппу PE оказывает сильное влияние на характер гидролиза Р-О-С-связи PE, отделенной от этой NH<sub>2</sub>-группы двумя метиленовыми группами, может иметь значение для дальнейших исследований по химии и биохимии других, в том числе и нелипидных, органических соединений фосфора. Преимущества ферментативного разрыва Р-О-С-связи PE по сравнению с ее гидролизом, катализируемым фосфолипазой D, обсуждались нами ранее [1].

В продуктах реакции ацетилирования этаноламина наряду с EtnNAc было обнаружено в значительном количестве вещество с  $R_{DNP} = 11$  (таблица, опыт 4). Далее мы идентифицировали его как N,O-диацетилэтанолamin (EtnNAcOAc) по данным масс-спектрометрии,  $m/z$ : 145 ( $M^+$ ), 102 ( $M^+ - COCH_3$ ), 85 ( $M^+ - CH_3COOH$ ), 73 ( $M^+ - CH_2NHCOCH_3$ ), 72 ( $M^+ - CH_3COOCH_2$ ). Образование EtnNAcOAc при ацетилировании этаноламина противоречит утверждению Гейвера и Свили [18] о том, что при выполнении этой реакции в метанольном растворе она селективна к аминогруппе. Таким образом, при ацетилировании смесей липидов в этих условиях (таблица, опыт 1) возможность замещения их OH-групп следует учитывать.

## ЭКСПЕРИМЕНТАЛЬНАЯ ЧАСТЬ

Раствор MeONa (50 мг Na/10 мл метанола) и 0.2 мМ HCl, pH 4, получали непосредственно перед употреблением. Водный 13 н. раствор NH<sub>4</sub>OH (ос. ч.), гелий (техн.), хлористый ацетил (х. ч.), нингидрин (Chemapol, Чехия), уксусный ангидрид (х. ч.) и метанол (ос. ч.), а также Хромосорб W-AW и неполярную стационарную фазу для ГЖХ (поликсилосан OV-17, Serva, ФРГ) использовали без дополнительной очистки. Остальные реактивы не отличались от применявшихся ранее [1].

**N-Ацетилирование фосфатидилэтанолamina и сольволиз полученного продукта ацетилирования** (таблица). Фосфолипиды семян сои (100 мг), не содержавшие свободного этаноламина [1], выдерживали с 0.5 мл уксусного ангидрида в 4 мл метанола (опыт 1). Часть реакционной смеси (1/100) разделяли с помощью ТСХ (см. ниже). Остальную часть продуктов реакции подвергали дез-

ацилированию с 2 мл метанольного раствора MeONa (опыт 2), образовавшиеся эфиры жирных кислот экстрагировали гексаном, а водную фракцию выпаривали. Сухой остаток гидролизовали с 3 мл 0.2 мМ HCl, pH 4 (опыт 3), половину объема воды отгоняли в виде ее азеотропной смеси с *n*-пропанолом [1] и продукты гидролиза ВРФ экстрагировали хлороформом (5 × 3 мл). Содержавшееся в экстракте вещество с  $R_{DNP} = 6$  (предположительно EtnNAc) выделяли препаративной ТСХ (см. ниже) с выходом 2 мг (60%).

Для регенерации этаноламина из этого вещества 1 мг последнего, 3 мл безводного метанола и 0.1 мл хлористого ацетила кипятили 1 ч (таблица, опыт 5); сухой остаток метанолизата экстрагировали хлороформом и содержание этаноламина в полученном экстракте оценивали с помощью ТСХ [1].

**Получение стандартного препарата EtnNAc и его идентификация.** Этанолamin (50 мг) ацетилировали как описано выше (таблица, опыт 4) и продукты реакции выделяли препаративной ТСХ. Выход EtnNAc составлял 60%,  $R_{DNP} = 6$ , МС,  $m/z$ : 103 ( $M^+$ ), 85 ( $M^+ - H_2O$ ), 72 ( $M^+ - CH_2OH$ ), 60 ( $M^+ - COCH_3$ ) [24].

**Хроматография и масс-спектрометрия.** Разделение исходных и N-ацетилированных фосфолипидов (50 мкг) выполняли методом проточной ТСХ ([28]; см. также сноску 6 в таблице). Для аналитической ТСХ (см. сноску 8 в таблице) на пластинку 14 × 5 см наносили 40 мкг продуктов гидролиза (при pH 4) водорастворимой фракции ацетилированных фосфолипидов и по 40 мкг синтетических препаратов EtnNAc или EtnNAcOAc. После разделения пластинку обрабатывали неспецифическим реагентом – фосфорномолибденовой кислотой (РМА). Рассчитывали также нижний предел детектирования EtnNAc и EtnNAcOAc, который затем использовали для приближенной оценки их содержания [1]. Амино- и фосфатные группы обнаруживали нингидрином и реактивом Васьяковского соответственно [29, 19].

Препаративную ТСХ продуктов гидролиза водорастворимой фракции и ацетилирования этаноламина выполняли аналогично. На пластинки размером 15 × 15 см наносили по 120 и 200 мкг указанных веществ; после проявления вещества с сорбента элюировали смесью хлороформа и метанола (2 : 1). Было получено по ~1 мг EtnNAc и EtnNAcOAc; степень их чистоты контролировали аналитической ТСХ.

Для ГЖХ-разделения EtnNAc и EtnNAcOAc использовали спиральную стеклянную колонку (0.3 см × 1.2 м) с Хромосорбом W-AW, содержащим 3% неполярной жидкой фазы OV-17 [28], при температуре испарительной камеры, колонки и детектора 170, 160 и 160°C соответственно. Масса проб EtnNAc и EtnNAcOAc составляла

1 мкг; стандартом для расчета их относительного удерживания служил метилсалицилат (2 мкг). Основные параметры ГЖХ, а также методы расчета нижнего предела чувствительности пламенно-ионизационного детектора к EtnNAc и EtnNAcOAc и определения асимметричности их ГЖХ-пиков не отличались от применявшихся ранее [1].

Масс-спектры EtnNAc и EtnNAcOAc снимали на хроматомасс-спектрометре Finnigan 3000 (США). Пробы (1–2 мкг) разделяли на капиллярной ГЖХ-колонке (0,2 мм × 50 м) с химически связанной жидкой фазой, содержащей метил- и фенилсиликоновые эластомеры (19 : 1; Finnigan, США). Температура колонки 160°C, расход гелия 2 мл/мин, ионизирующее напряжение 70 эВ, ток эмиссии катода 100 мкА, ускоряющее напряжение 3 кВ.

Приносим благодарность проф. Э.Е. Нифантьеву за обсуждение результатов настоящей работы.

### СПИСОК ЛИТЕРАТУРЫ

1. Жуков А.В., Верещагин А.Г. // Физиология растений. 1994. Т. 41. С. 420–424.
2. De Koning A.J. // Analyst. 1966. V. 91. P. 523–525.
3. Lester R.L., White D.C. // J. Lipid Res. 1967. V. 8. P. 565–569.
4. Кеймс М. Техника липидологии. М.: Мир, 1975. С. 94–96.
5. Menon A.K., Stevens V.L. // J. Biol. Chem. 1992. V. 267. P. 15277–15280.
6. Sundaralingam M. // Nature. 1968. V. 217. P. 35–37.
7. Henderson T.O., Glonek T., Myers T.C. // Biochemistry. 1974. V. 13. P. 623–628.
8. Seimiya T., Ashida M., Hayashi M., Muramatsu T., Hara I. // Chem. Phys. Lipids. 1978. V. 21. P. 69–76.
9. Корнена Е.П., Арутюнян Н.С. // Масложировая пром-сть. 1985. № 8. С. 14–18.
10. Pascher I., Lundmark M., Nyholm P.-A., Sundell S. // Biochim. Biophys. Acta. 1992. V. 1113. P. 339–344.
11. Boggs J.M. // Can. J. Biochem. 1980. V. 58. P. 755–770.
12. Корбридж Д. Фосфор. М.: Мир, 1982. С. 42–44.
13. Головня Р.В., Журавлева И.Л., Зенин С.В., Поляков В.А., Сергеев Г.В. // Изв. АН СССР, Сер. хим. 1973. С. 2595–2597.
14. Merchant T.E., Glonek T. // J. Lipid Res. 1990. V. 31. P. 479–483.
15. Lafrance D., Marion D., Pezolat M. // Biochemistry. 1970. V. 29. P. 4592–4599.
16. Brown P.M., Silvius J.R. // Biochim. Biophys. Acta. 1989. V. 980. P. 181–190.
17. Wright S.E., Huang L. // Biochim. Biophys. Acta. 1992. V. 1103. P. 172–178.
18. Gaver R., Sweeley C.C. // J. Am. Chem. Soc. 1966. V. 88. P. 3643–3646.
19. Vaskovsky V.E., Kostetsky E.Y., Vasendin I.M. // J. Chromatogr. 1975. V. 114. P. 129–141.
20. Desjoberg A. // Bull. Soc. Chim. Fr. 1947. V. 14. P. 809–812.
21. Chanley J.D., Gindber E.M., Sobotka H. // J. Am. Chem. Soc. 1952. V. 74. P. 4347–4351.
22. Barnard P.W.C., Bunton C.A., Llewellyn D.R., Oldham K.A., Silver B.L., Vernon C.A. // Chemistry and Industry. 1955. P. 760–764.
23. Chanley J.D., Feagson E. // J. Am. Chem. Soc. 1955. V. 77. P. 4002–4007.
24. Eight Peak Index of Mass Spectra. 1983. 3rd ed. № 1. Part I. P. 7–57.
25. Aneja R., Chadha J.S., Knaggs J.A. // Biochem. Biophys. Res. Commun. 1969. V. 36. P. 401–406.
26. Rietschel E.T., Sidoreczyk Z., Zähringer U., Wallenweber H.W., Lüderitz O. // ACS Symposium. Ser. 231. Bacterial Lipopolysaccharides / Eds L. Anderson, F.M. Unger. Washington, D.C.: ACS, 1983. P. 195–218.
27. Stahl N., Baldwin M.A., Hecker R., Pan K.M., Burlingame A.L., Prusiner S.B. // Biochemistry. 1992. V. 31. P. 5043–5053.
28. Андерсен А.А. Газовая хроматография аминосоединений. Рига: Зинатне, 1982. С. 160–175.
29. Жуков А.В., Стефанов К.Л., Верещагин А.Г. // Физиология растений. 1987. Т. 34. С. 518–523.

## Mild Nonenzymic Hydrolysis of Phosphodiester Bond in Phosphatidylethanolamines

A. V. Zhukov,<sup>1</sup> E. I. Kuznetsova, and A. G. Vereshchagin

Timiryazev Institute of Plant Physiology, Russian Academy of Sciences,  
ul. Botanicheskaya 35, Moscow, 127276 Russia

**Abstract**—Acetylation of phosphatidylethanolamine changes the charge and conformation of its polar head and, as a result, makes the P–O–C bond in *N*-acetylphosphatidylethanolamine accessible to hydrolysis (with the formation of *N*-acylethanolamine) under milder conditions than those required for the hydrolysis of phosphatidylethanolamine.

**Key words:** phospholipids, hydrolysis, polar head group.

<sup>1</sup> To whom correspondence should be addressed.